

Starkniederschlagshöhen und -spenden gemäß KOSTRA-DWD-2020

Rasterfeld 113127

(Zeile 113, Spalte 127)

Regenspende und Bemessungsniederschlagswerte in Abhängigkeit von Wiederkehrzeit T und Dauerstufe D

| Dauerstufe D | | Wiederkehrzeit T | | | | | | | | | | | | | | | | | |
|--------------|-----|------------------|------------|------|------------|------|------------|------|------------|------|------------|-------|------------|-------|------------|-------|------------|-------|------------|
| | | 1 a | | 2 a | | 3 a | | 5 a | | 10 a | | 20 a | | 30 a | | 50 a | | 100 a | |
| min | Std | mm | l / (s ha) | mm | l / (s ha) | mm | l / (s ha) | mm | l / (s ha) | mm | l / (s ha) | mm | l / (s ha) | mm | l / (s ha) | mm | l / (s ha) | mm | l / (s ha) |
| 5 | | 7,6 | 253,3 | 9,5 | 316,7 | 10,6 | 353,3 | 12,1 | 403,3 | 14,2 | 473,3 | 16,4 | 546,7 | 17,9 | 596,7 | 19,8 | 660,0 | 22,5 | 750,0 |
| 10 | | 9,5 | 158,3 | 11,8 | 196,7 | 13,2 | 220,0 | 15,0 | 250,0 | 17,7 | 295,0 | 20,5 | 341,7 | 22,3 | 371,7 | 24,6 | 410,0 | 28,0 | 466,7 |
| 15 | | 10,7 | 118,9 | 13,2 | 146,7 | 14,8 | 164,4 | 16,9 | 187,8 | 19,9 | 221,1 | 23,0 | 255,6 | 25,0 | 277,8 | 27,6 | 306,7 | 31,4 | 348,9 |
| 20 | | 11,5 | 95,8 | 14,3 | 119,2 | 16,0 | 133,3 | 18,3 | 152,5 | 21,5 | 179,2 | 24,8 | 206,7 | 27,0 | 225,0 | 29,9 | 249,2 | 34,0 | 283,3 |
| 30 | | 12,8 | 71,1 | 15,9 | 88,3 | 17,8 | 98,9 | 20,3 | 112,8 | 23,9 | 132,8 | 27,6 | 153,3 | 30,0 | 166,7 | 33,2 | 184,4 | 37,8 | 210,0 |
| 45 | | 14,2 | 52,6 | 17,6 | 65,2 | 19,7 | 73,0 | 22,5 | 83,3 | 26,5 | 98,1 | 30,6 | 113,3 | 33,3 | 123,3 | 36,8 | 136,3 | 41,9 | 155,2 |
| 60 | 1 | 15,3 | 42,5 | 18,9 | 52,5 | 21,2 | 58,9 | 24,2 | 67,2 | 28,4 | 78,9 | 32,9 | 91,4 | 35,8 | 99,4 | 39,6 | 110,0 | 45,0 | 125,0 |
| 90 | 1,5 | 16,9 | 31,3 | 20,9 | 38,7 | 23,4 | 43,3 | 26,7 | 49,4 | 31,4 | 58,1 | 36,3 | 67,2 | 39,5 | 73,1 | 43,7 | 80,9 | 49,7 | 92,0 |
| 120 | 2 | 18,1 | 25,1 | 22,4 | 31,1 | 25,1 | 34,9 | 28,6 | 39,7 | 33,7 | 46,8 | 38,9 | 54,0 | 42,3 | 58,8 | 46,8 | 65,0 | 53,3 | 74,0 |
| 180 | 3 | 19,9 | 18,4 | 24,7 | 22,9 | 27,7 | 25,6 | 31,5 | 29,2 | 37,1 | 34,4 | 42,9 | 39,7 | 46,7 | 43,2 | 51,6 | 47,8 | 58,7 | 54,4 |
| 240 | 4 | 21,3 | 14,8 | 26,5 | 18,4 | 29,6 | 20,6 | 33,8 | 23,5 | 39,8 | 27,6 | 46,0 | 31,9 | 50,0 | 34,7 | 55,3 | 38,4 | 62,9 | 43,7 |
| 360 | 6 | 23,5 | 10,9 | 29,2 | 13,5 | 32,6 | 15,1 | 37,2 | 17,2 | 43,8 | 20,3 | 50,6 | 23,4 | 55,1 | 25,5 | 60,9 | 28,2 | 69,3 | 32,1 |
| 540 | 9 | 25,9 | 8,0 | 32,1 | 9,9 | 35,9 | 11,1 | 41,0 | 12,7 | 48,3 | 14,9 | 55,8 | 17,2 | 60,7 | 18,7 | 67,1 | 20,7 | 76,3 | 23,5 |
| 720 | 12 | 27,7 | 6,4 | 34,4 | 8,0 | 38,5 | 8,9 | 43,9 | 10,2 | 51,7 | 12,0 | 59,7 | 13,8 | 65,0 | 15,0 | 71,8 | 16,6 | 81,7 | 18,9 |
| 1080 | 18 | 30,5 | 4,7 | 37,8 | 5,8 | 42,4 | 6,5 | 48,3 | 7,5 | 56,9 | 8,8 | 65,7 | 10,1 | 71,5 | 11,0 | 79,1 | 12,2 | 90,0 | 13,9 |
| 1440 | 24 | 32,7 | 3,8 | 40,5 | 4,7 | 45,4 | 5,3 | 51,7 | 6,0 | 60,9 | 7,0 | 70,4 | 8,1 | 76,6 | 8,9 | 84,7 | 9,8 | 96,3 | 11,1 |
| 2880 | 48 | 38,5 | 2,2 | 47,7 | 2,8 | 53,4 | 3,1 | 60,9 | 3,5 | 71,8 | 4,2 | 82,9 | 4,8 | 90,2 | 5,2 | 99,8 | 5,8 | 113,5 | 6,6 |
| 4320 | 72 | 42,4 | 1,6 | 52,5 | 2,0 | 58,8 | 2,3 | 67,1 | 2,6 | 79,0 | 3,0 | 91,3 | 3,5 | 99,3 | 3,8 | 109,8 | 4,2 | 124,9 | 4,8 |
| 5760 | 96 | 45,4 | 1,3 | 56,2 | 1,6 | 63,0 | 1,8 | 71,8 | 2,1 | 84,5 | 2,4 | 97,7 | 2,8 | 106,3 | 3,1 | 117,5 | 3,4 | 133,7 | 3,9 |
| 7200 | 120 | 47,8 | 1,1 | 59,3 | 1,4 | 66,4 | 1,5 | 75,7 | 1,8 | 89,1 | 2,1 | 103,0 | 2,4 | 112,0 | 2,6 | 123,9 | 2,9 | 140,9 | 3,3 |
| 8640 | 144 | 49,9 | 1,0 | 61,9 | 1,2 | 69,3 | 1,3 | 79,0 | 1,5 | 93,0 | 1,8 | 107,5 | 2,1 | 117,0 | 2,3 | 129,4 | 2,5 | 147,1 | 2,8 |
| 10080 | 168 | 51,8 | 0,9 | 64,2 | 1,1 | 71,9 | 1,2 | 82,0 | 1,4 | 96,5 | 1,6 | 111,5 | 1,8 | 121,3 | 2,0 | 134,2 | 2,2 | 152,6 | 2,5 |

Starkniederschlagshöhen und -spenden gemäß KOSTRA-DWD-2020

Rasterfeld 113127

(Zeile 113, Spalte 127)

Örtliche Unsicherheiten in Abhängigkeit von Wiederkehrzeit T und Dauerstufe D

| Dauerstufe D | | Wiederkehrzeit T | | | | | | | | |
|--------------|-----|------------------|-----|-----|-----|------|------|------|------|-------|
| | | 1 a | 2 a | 3 a | 5 a | 10 a | 20 a | 30 a | 50 a | 100 a |
| min | Std | ± % | ± % | ± % | ± % | ± % | ± % | ± % | ± % | ± % |
| 5 | | 12 | 13 | 14 | 15 | 15 | 16 | 17 | 17 | 18 |
| 10 | | 15 | 16 | 17 | 18 | 19 | 20 | 21 | 21 | 22 |
| 15 | | 16 | 18 | 19 | 20 | 21 | 22 | 23 | 23 | 24 |
| 20 | | 17 | 19 | 20 | 21 | 22 | 23 | 23 | 24 | 25 |
| 30 | | 17 | 19 | 20 | 21 | 23 | 23 | 24 | 25 | 25 |
| 45 | | 17 | 19 | 20 | 21 | 23 | 23 | 24 | 24 | 25 |
| 60 | 1 | 17 | 19 | 20 | 21 | 22 | 23 | 24 | 24 | 25 |
| 90 | 1,5 | 16 | 18 | 19 | 20 | 21 | 22 | 23 | 23 | 24 |
| 120 | 2 | 15 | 17 | 19 | 20 | 21 | 22 | 22 | 23 | 23 |
| 180 | 3 | 14 | 16 | 17 | 19 | 20 | 21 | 21 | 22 | 22 |
| 240 | 4 | 13 | 16 | 17 | 18 | 19 | 20 | 20 | 21 | 21 |
| 360 | 6 | 13 | 15 | 15 | 17 | 18 | 19 | 19 | 20 | 20 |
| 540 | 9 | 12 | 14 | 15 | 16 | 17 | 18 | 18 | 18 | 19 |
| 720 | 12 | 11 | 13 | 14 | 15 | 16 | 17 | 17 | 18 | 18 |
| 1080 | 18 | 11 | 12 | 13 | 14 | 15 | 16 | 16 | 17 | 17 |
| 1440 | 24 | 11 | 12 | 13 | 14 | 15 | 15 | 16 | 16 | 17 |
| 2880 | 48 | 12 | 12 | 13 | 13 | 14 | 15 | 15 | 15 | 16 |
| 4320 | 72 | 13 | 13 | 13 | 13 | 14 | 14 | 15 | 15 | 15 |
| 5760 | 96 | 14 | 13 | 13 | 14 | 14 | 15 | 15 | 15 | 15 |
| 7200 | 120 | 14 | 14 | 14 | 14 | 14 | 15 | 15 | 15 | 15 |
| 8640 | 144 | 15 | 14 | 14 | 14 | 15 | 15 | 15 | 15 | 16 |
| 10080 | 168 | 16 | 15 | 15 | 15 | 15 | 15 | 15 | 16 | 16 |

Parameter für abweichende T und D

Lokationsparameter ξ (Xi)

15,43461782

Skalenparameter α (Alpha)

5,1398806

Formparameter κ (Kappa)

-0,1

1. Koutsoyiannis-Parameter θ (Theta)

0,01369725

2. Koutsoyiannis-Parameter η (Eta)

0,76362517

Parameter für dauerstufenübergreifende Extremwertschätzung nach KOUTSOYIANNIS et al. 1998.

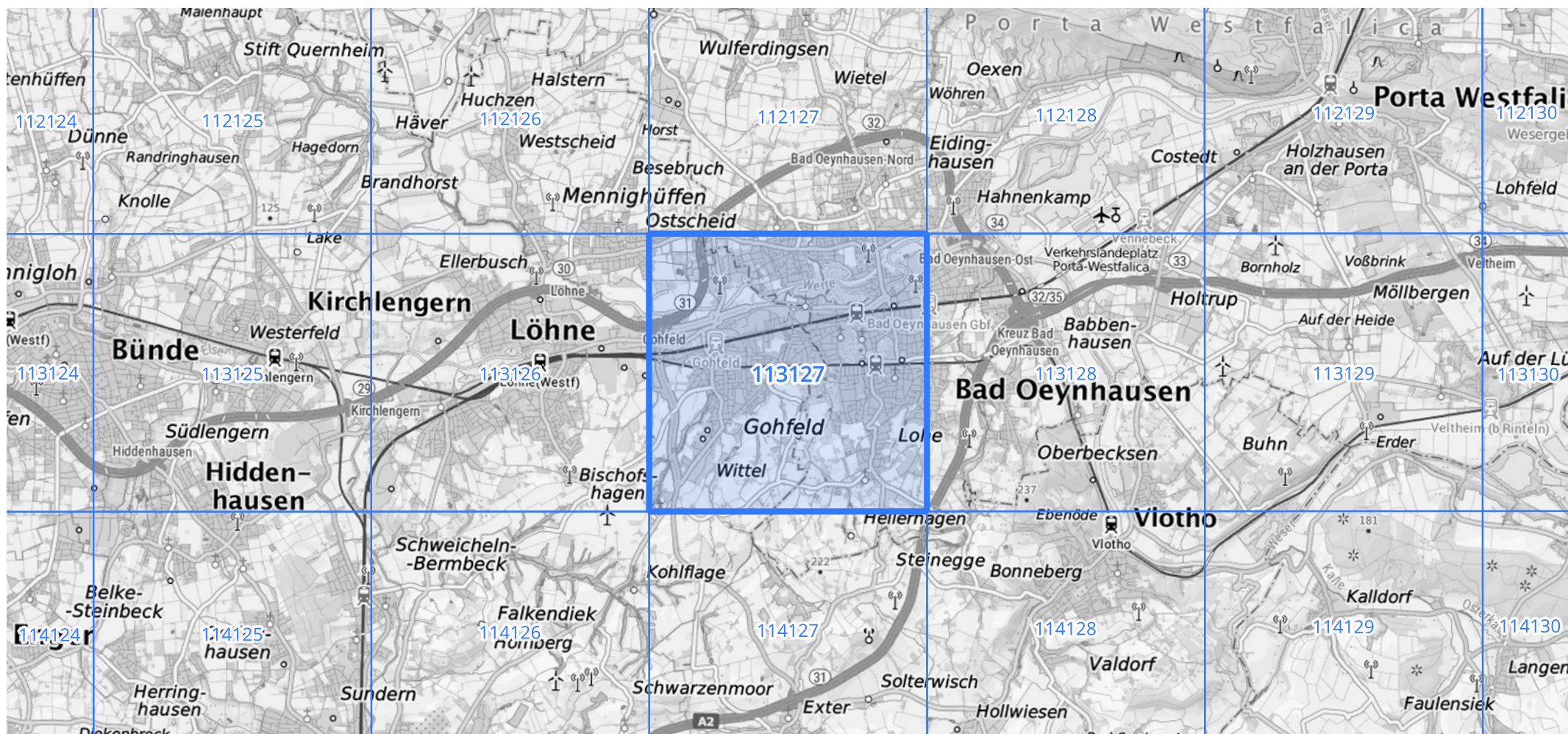
Siehe auch Anwendungshilfe zu KOSTRA-DWD-2020 des Deutschen Wetterdienstes.

Starkniederschlagshöhen und -spenden gemäß KOSTRA-DWD-2020

Rasterfeld 113127

(Zeile 113, Spalte 127)

Übersichtskarte des Rasterfeldes 113127, M 1 : 100 000



Quelle Rasterdaten: KOSTRA-DWD-2020 des Deutschen Wetterdienstes, Stand 12/2022.

Seite 3 von 3

Kartendarstellung: © Bundesamt für Kartographie und Geodäsie (2023), Datenquellen: https://sgx.geodatenzentrum.de/web_public/gdz/datenquellen/Datenquellen_TopPlusOpen.html

Für die Richtigkeit und Aktualität der Angaben wird keine Gewähr übernommen. Erstellt 01/2023.